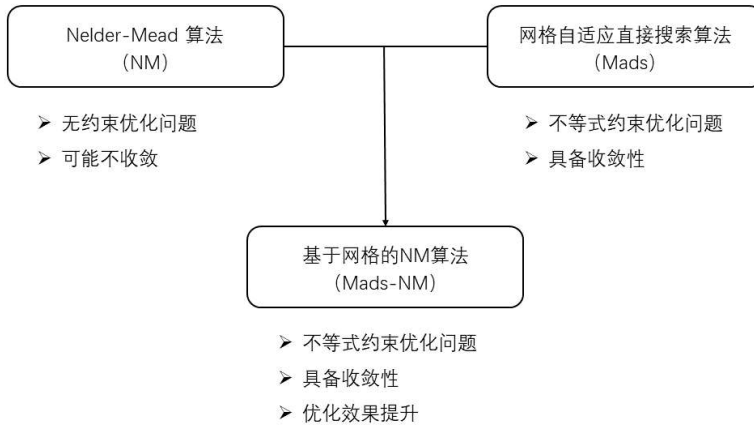


基于网格的NM不等式约束优化算法[1]总结报告

侯力广 521070910043

1.引言

在黑盒优化问题中：Nelder-Mead(NM)算法是一种处理无约束优化问题的算法，通过不断替换单纯性中最差的点来实现下降，但无法保证算法的收敛性；网格自适应方向搜索(Mads)算法是一种常用于处理不等式约束优化问题的算法，该方法有严谨的收敛性证明。在文献[1]中，作者将NM算法与Mads算法进行融合，提出的Mads-NM算法不仅可以解决不等式约束优化问题，具备严谨的收敛性证明，而且相较于NM和Mads均有明显的数值效果提升。



本次报告将分为四部分：NM无约束优化算法、Mads不等式约束优化算法、Mads-NM不等式约束优化算法，以及三种方法的效果比较。

2.NM无约束优化算法

2.1 目标问题

考虑无约束优化问题

$$\min_{x \in \mathbb{R}^n} f(x)$$

其中 $f: \mathbb{R}^n \mapsto \mathbb{R}$ 为目标函数。

2.2 整体思路

NM算法于1965年被首次提出，其核心思路是：初始化一个有序单纯形并进行迭代，每一步迭代都要用一个更好的点来替换当前单纯形的最差点【详见2.4-NM-1】。随着迭代次数的增加，单纯形会变得越来越好，单纯形的最优点可能会收敛到目标问题的最优解【详见2.4-NM-2】。当迭代满足一定条件（例如相邻两次迭代的最优点函数值之差小于某个容忍值）时，迭代停止，将最终得到的单纯形的最优点作为目标问题的最优解。

2.3 基本概念

♠ **定义2.1 (控制):** $x, y \in \mathbb{R}^n$, 若 $f(x) < f(y)$, 称 x 控制 y , 记作 $x \prec y$.

♠ **定义2.2 (更旧):** 若算法中 x 在 y 之前生成, 则称 x 比 y 旧。定义函数 $\text{Older}: \mathbb{R}^n \times \mathbb{R}^n \mapsto \mathbb{R}^n$

$$\text{Older}(x, y) = \begin{cases} x & \text{若 } x \text{ 在 } y \text{ 之前生成} \\ y & \text{其他} \end{cases}$$

$\text{Older}(x, y)$ 会输出 x, y 中更旧的那个。

♠ **定义2.3 (更好):** 定义函数 $\text{Best}: \mathbb{R}^n \times \mathbb{R}^n \mapsto \mathbb{R}^n$

$$\text{Best}(x, y) = \begin{cases} x & \text{若 } x \prec y \\ y & \text{若 } y \prec x \\ \text{Older}(x, y) & \text{若 } f(x) = f(y) \end{cases}$$

易证 Best 具有传递性。若 $x = \text{Best}(x, y)$, 则称 x 比 y 更好。

♠ **定义2.4 (有序单纯形):** 将 \mathbb{R}^n 中 $n+1$ 个仿射无关的点排序为 y^0, y^1, \dots, y^n , 使得 $y^{i-1} \prec y^i (i = 1, 2, \dots, n)$, 则集合

$$\mathbb{Y} = \{y^0, y^1, \dots, y^n\}$$

称为一个有序单纯形。

♠ **定义2.5 (区域):** 记 $\mathbb{Y} = \{y^0, y^1, \dots, y^n\}$ 为 \mathbb{R}^n 上的有一个有序单纯形, 测试点 $x \in \mathbb{R}^n$

- 若 $y^n \prec x$, 则 x 属于内缩区域;
- 其余情况, 若 $x \prec y^0$, 则 x 属于扩张区域;
- 其余情况, 若 x 至少掌控了 \mathbb{Y} 中的两个点, 则 x 属于反射区域;
- 其余情况, 即 x 掌控了 \mathbb{Y} 中的零或一个点, 则 x 属于外缩区域。

♠ **注释 I:** 定义2.1-2.5仅针对无约束优化的目标问题2.1, 对于不等式约束优化的目标问题3.1和4.1, 我们会在下文给出新的定义。

2.4 算法细节

♣ NM-1. 替换最差点的原则

NM算法的每一步迭代都会将有序单纯形 \mathbb{Y} 中最差的点 y^n 替换为一个更好的点。现做定义如下:

$$x^c = \frac{1}{n} \sum_{i=0}^{n-1} y^i$$

中心

$$x^r = x^c + (x^c - y^n)$$

反射点

$$x^e = x^c + 2(x^c - y^n)$$

延长点

$$x^{oc} = x^c + \frac{1}{2}(x^c - y^n)$$

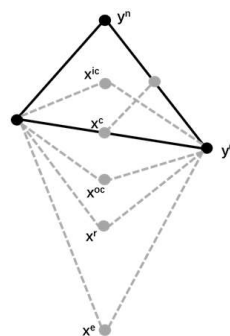
外缩点

$$x^{ic} = x^c - \frac{1}{2}(x^c - y^n)$$

内缩点

$$\gamma = \frac{1}{2}$$

收缩参数



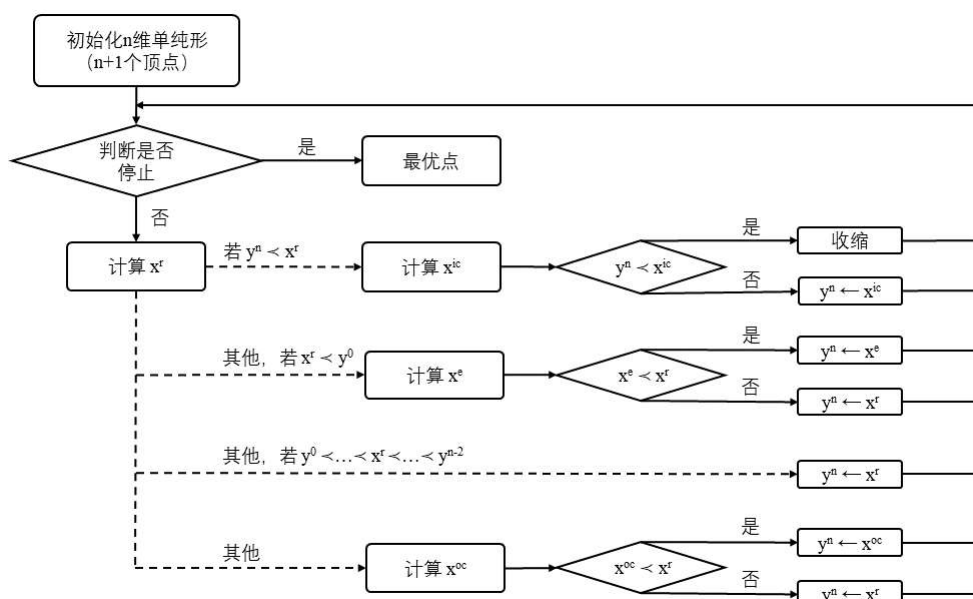
每一步迭代有五种替换方案, 要么用 x^r, x^e, x^{oc}, x^{ic} 中的一个点替换 y^n , 要么将 y^1, y^2, \dots, y^n 向 y^0 的方向收缩, 即:

$$\mathbb{Y} \leftarrow \{y^0, y^0 + \gamma(y^1 - y^0), \dots, y^0 + \gamma(y^n - y^0)\}. \quad (1)$$

针对不同的情况, NM会选取不同的替换点:

- 若 x^r 属于内缩区域且 x^{ic} 属于内缩区域, 用公式(1)收缩;
- 若 x^r 属于内缩区域且 x^{ic} 不属于内缩区域, 用 x^{ic} 替换 y^n ;
- 除上述情况, 若 x^r 属于扩张区域, 用 $\text{Best}(x^r, x^e)$ 替换 y^n ;
- 除上述情况, 若 x^r 属于反射区域, 用 x^r 替换 y^n ;
- 除上述情况, 即 x^r 属于外缩区域, 用 $\text{Best}(x^r, x^{oc})$ 替换 y^n ;

NM算法流程图:



♣ NM-2. 收敛性及相关研究

正如引言中所指出, NM算法未必能收敛至问题最优解。1998年McKinnon提出了一个 \mathbb{R} 上的光滑的严格凸函数[2], 在该函数上, NM算法产生的实验点序列无法接近唯一的最小值。1998-2012年, 人们采用多种方法改进了NM算法, 使其在某些限制条件下具备一定的收敛性[1]。本文[1] (2018)则是将NM算法融入了Mads算法, 利用Mads的收敛性分析来确保算法收敛。

3.Mads不等式约束优化算法

3.1 目标问题

考虑不等式约束优化问题

$$\begin{aligned} \min_{x \in X \subset \mathbb{R}^n} f(x) \\ s.t. \quad c(x) \leq 0 \end{aligned}$$

其中 $f: X \mapsto \mathbb{R} \cup \infty$, $c: X \mapsto (\mathbb{R} \cup \infty)^m$, $c = (c_1, \dots, c_m)^T$, X 是 \mathbb{R}^n 的子集, f 与 c 的平滑性无要求。

3.2 整体思路

Mads是一种被广泛使用的黑盒优化算法, 其核心思路是: 在给定区域内初始化一个点, 通过不断搜索-轮询来迭代优化当前点, 直至满足预先设定的停止条件为止。对于不等式约束优化问题3.1, 我们还需要给Mads添加一些“障碍”来满足约束条件, 以避免算法在不可行域中浪费太多的时间, 并确保最终输出的最优解在可行域中。常用的约束手段有极限障碍(EB)、渐进障碍(PB)等。本文献[1]作者使用了渐进障碍(PB)来处理不等式约束条件。因此Mads每一步迭代的流程为: 搜索-轮询-障碍(PB)【详见3.4-Mads-1】。搜索让算法避免落入局部最优解, 轮询确保了算法的收敛性, 障碍满足了目标问题的约束条件【详见3.4-Mads-2】。

3.3 基本概念

♠ **定义3.1 (正张成集):** 给定向量空间 V , 若集合 S 的元素的非负线性组合可以张成 V , 则称 S 为 V 的正张成集。

♠ **定义3.2 (网格):** 设 $G \in \mathbb{R}^{n \times n}$ 为可逆矩阵, $Z \in \mathbb{Z}^{n \times p}$ 满足 Z 的列向量构成一个 \mathbb{R}^n 的正张成集, 设 $D = GZ$ 。

对于当前最优解 $x^k \in \mathbb{R}^n$, 以 x^k 为中心, 尺寸为 δ^k 的网格定义为

$$M^k = \{x^k + \delta^k Dy \mid y \in \mathbb{N}^p\} \subset \mathbb{R}^n$$

其中 δ^k 称为网格尺寸参数。

♠ **定义3.3 (框架):** 设 $G \in \mathbb{R}^{n \times n}$ 为可逆矩阵, $Z \in \mathbb{Z}^{n \times p}$ 满足 Z 的列向量构成一个 \mathbb{R}^n 的正张成集, 设 $D = GZ$ 。

对于网格尺寸参数 δ^k , 取 Δ^k 满足 $\Delta^k \geq \delta^k$, 则以 x^k 为中心, 尺寸为 Δ^k 的框架定义为

$$F^k = \{x \in M^k \mid \|x - x^k\|_\infty \leq \Delta^k b\}$$

其中 $b = \max\{\|d'\|_\infty : d' \in \mathbb{D}\}$, \mathbb{D} 表示矩阵 D 的列向量构成的集合; Δ^k 称为框架尺寸参数。

♠ **定义3.4 (违约函数):** 设约束条件的索引集 $J = \{1, 2, \dots, m\}$, 定义违约函数

$$h(x) = \begin{cases} \sum_{j \in J} (\max\{c_j(x), 0\})^2 & \text{若 } x \in X \\ \infty & \text{其他} \end{cases}$$

$h(x)$ 总是非负的, $h(x) = 0 \iff x$ 在问题的可行域中, 即 $x \in \Omega = \{x \in X : c(x) \leq 0\}$ 。

♠ **定义3.5 (控制):** $x, y \in \mathbb{R}^n$, 若

- x, y 均可行, 且 $f(x) < f(y)$; 或
- x, y 均不可行, 且 $f(x) \leq f(y)$, $h(x) \leq h(y)$, 且两不等式中至少一个满足严格不等号

则称 x 控制 y , 记作 $x \prec y$ 。

♠ **定义3.6 (更好):** 定义函数 $\text{Best} : \mathbb{R}^n \times \mathbb{R}^n \mapsto \mathbb{R}^n$

$$\text{Best}(x, y) = \begin{cases} x & \text{若 } x \prec y \text{ 或 } h(x) < h(y) \\ y & \text{若 } y \prec x \text{ 或 } h(y) < h(x) \\ \text{Older}(x, y) & \text{若 } f(x) = f(y) \text{ 且 } h(x) = h(y) \end{cases}$$

易证Best具有传递性。若 $x = \text{Best}(x, y)$, 则称 x 比 y 更好。

♠ **注释II:** 这里针对不等式约束优化的目标问题3.1给出了新的“控制”和“更好”定义。

3.4 算法细节

♣ Mads-1. 搜索-轮询-障碍(PB)

为了方便读者理解,我们先不设置障碍(PB),仅通过无约束优化问题2.1介绍Mads的搜索-轮询过程;进而考虑不等式约束优化问题3.1,介绍Mads的搜索-轮询-障碍(PB)过程。

• Mads-1-1. 无约束优化: 搜索-轮询

对于无约束优化的目标问题2.1,我们沿用定义2.1-2.3“控制”、“更旧”和“更好”。初始化参数

$x^0 \in X$	迭代起点, 必须在 $f(x)$ 的定义域 X 中;
$D = GZ$	预先设置的正张成矩阵, 用于生成网格和框架;
$\Delta^0 \in (0, \infty)$	框架尺寸参数初值;
$\tau \in (0, 1)$	网格尺寸调整参数;
$\epsilon_{stop} \in [0, \infty)$	允许停止条件。

Step1. (更新参数) 对于第 k 步迭代得到的最优点 x^k , 取网格参数 $\delta^k = \min\{\Delta^k, (\Delta^k)^2\}$, 生成网格

$$M^k = \{x^k + \delta^k Dy \mid y \in \mathbb{N}^p\} \subset \mathbb{R}^n$$

Step2. (搜索) 用一种启发式算法 (文献[1][3]并未言明) 在 M^k 上取一个有限子集 S^k ,

- 若 $\exists t \in S^k$, 使得 $f(t) < f(x^k)$, 则 $x^{k+1} \leftarrow t$, $\Delta^{k+1} \leftarrow \tau^{-1} \Delta^k$, 进行Step4;
- 否则进行Step3.

Step3. (轮询) 随机选取 \mathbb{D} 的一个子集 \mathbb{D}_Δ^k , 以 x^k 为中心, 生成轮询集

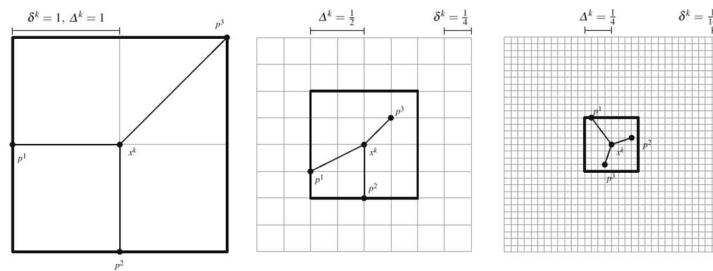
$$P^k = \{x^k + \delta d \mid d \in \mathbb{D}_\Delta^k\} \subset F^k$$

- 若 $\exists t \in P^k$, 使得 $f(t) < f(x^k)$, 则 $x^{k+1} \leftarrow t$, $\Delta^{k+1} \leftarrow \tau^{-1} \Delta^k$;
- 否则 $x^{k+1} \leftarrow x^k$, $\Delta^{k+1} \leftarrow \tau \Delta^k$.

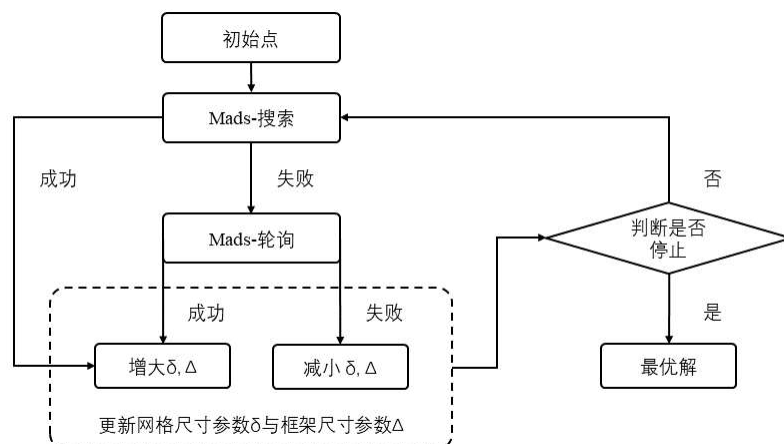
Step4. (检验) 判断是否满足停止条件

- 若 $\Delta^{k+1} \geq \epsilon_{stop}$, 则 $k+1 \leftarrow k$, 重复Step1;
- 否则输出 x^{k+1}

为了方便理解, 下图绘制了三组不同的 Δ^k, δ^k 对应的网格图像, 其中灰色网格的交点构成网格 M^k , 黑色框架及内部的格点构成框架 F^k , $P = \{p^1, p^2, p^3\}$ 构成一个轮询集。



无约束优化Mads流程图



● Mads-1-2. 不等式约束优化：搜索-轮询-障碍(PB)

对于不等式约束优化的目标问题3.1，我们使用定义3.5-3.6“控制”和“更好”。问题要求Mads找到的最优解在可行域中，渐进障碍(PB)对此的处理思路是：令Mads的第 k 步迭代尽可能输出两个点，即可行域中当前最优点 x_{inf}^k 和不可行域中 $h(x)$ 值较小且 $f(x)$ 值更小的最优点 x_{feas}^k 。换言之，每一步迭代中Mads除了在可行域 Ω 中寻找 x_{feas}^k ，满足

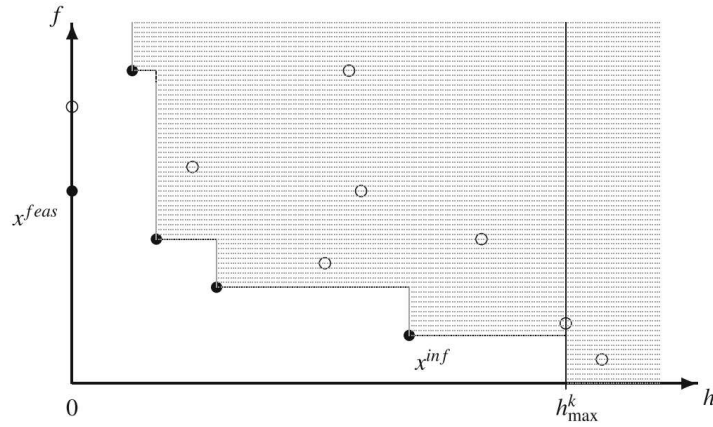
$$x_{feas}^k \prec x_{feas}^{k-1}$$

还会更新一个逐渐变小的违约函数障碍阈值 h_{max}^k ，并在 $X \setminus \Omega$ 中搜索 x_{inf}^k ，满足

$$h(x_{inf}^k) \leq h_{max}^k \quad f(x_{inf}^k) < f(x_{feas}^k) \quad (x_{inf}^k \prec x_{inf}^{k-1}, \text{若 } x_{inf}^{k-1} \text{ 存在})$$

若存在这样的 x_{inf}^k ，则输出 x_{feas}^k 和 x_{inf}^k ，否则只输出 x_{feas}^k 。

下图直观地展示了搜索-轮询-障碍(PB)的原理，13个圆圈表示第 k 步搜索-轮询评估过的13个点。图上有2个可行点，位于 $h = 0$ 的纵轴上， f 值最小的那个用深色圆圈表示，记为 x_{feas} ；共有11个不可行点，其中6个被其他点控制，1个违约函数的值超过了 h_{max}^k ，其余4个未被支配的点显示为深色圆圈。在这4个点中， f 值最小的不可行点记作 x_{inf} 。则本次迭代输出结果为 $x_{feas}^k = x_{feas}$ ， $x_{inf}^k = x_{inf}$ 。

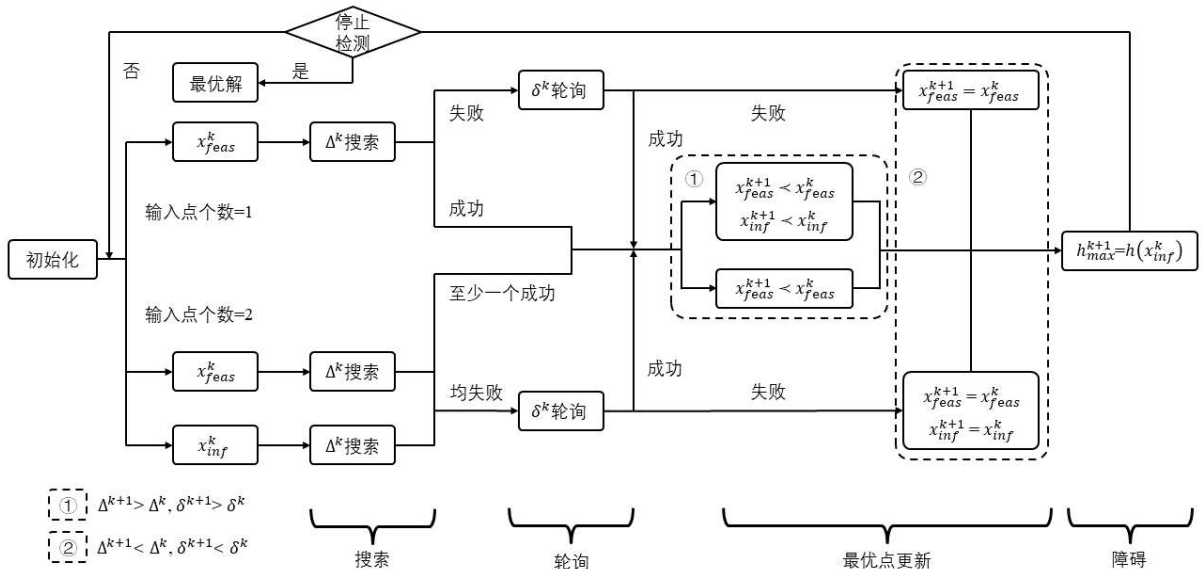


初始化参数

$$\begin{aligned} x^0 &= x_{feas}^0 = x_{inf}^0 \in X \\ D &= GZ \\ \Delta^0 &\in (0, \infty) \\ \tau &\in (0, 1) \\ h_{max}^0 &= \infty \\ \epsilon_{stop} &\in [0, \infty) \end{aligned}$$

迭代起点，必须在 $f(x)$ 的定义域 X 中；
预先设置的正张成矩阵，用于生成网格和框架；
框架尺寸参数初值；
网格尺寸调整参数；
障碍阈值初值；
允许停止条件。

由于搜索-轮询-障碍的过程较为复杂，这里仅绘制流程图阐述



♣ Mads-2. 收敛性分析

收敛性的严格论证较为复杂，文献[1]仅给出结论：如果测试点序列属于一个有界集，且更新方向集合足够丰富，则存在一个聚点 x^* ：

- 若 x^* 可行，则 x^* 在可行域 Ω 的每个超切线方向 d 上，广义Clarke方向导数 $f^o(x^*; d)$ 是非负的；
- 若 x^* 不可行，则 x^* 在集合 X 的每个超切线方向 d 上，广义Clarke方向导数 $h^o(x^*; d)$ 是非负的。

只要确保每一次搜索时 S^k 是网格 M^k 的有限子集，Mads的收敛性就与搜索步骤无关[1]。

4.Mads-NM不等式约束优化算法

4.1 目标问题

考虑不等式约束优化问题（同3.1）

$$\begin{aligned} \min_{x \in X \subset \mathbb{R}^n} & f(x) \\ \text{s.t.} & c(x) \leq 0 \end{aligned}$$

其中 $f: X \mapsto \mathbb{R} \cup \infty$, $c: X \mapsto (\mathbb{R} \cup \infty)^m$, $c = (c_1, \dots, c_m)^T$, X 是 \mathbb{R}^n 的子集, f 与 c 的平滑性无要求。

4.2 整体思路

文献[1]融合NM与Mads的思路是，将Mads每一步迭代的直接搜索替换为NM搜索，即：第 k 步最优解 x^k 【详见Mads-NM-1】 \rightarrow Mads生成网格 $M^k \rightarrow$ 网格上生成单纯形 \mathbb{Y}^k 【详见Mads-NM-2】 \rightarrow NM执行Mads搜索【详见Mads-NM-3】 \rightarrow Mads轮询 \rightarrow Mads障碍 \rightarrow 第 $k+1$ 步最优解 x^{k+1} 。每次迭代NM评估的点集 S^k 是 M^k 的有限子集，故Mads-NM具备收敛性【详见Mads-NM-4】。

4.3 基本概念

♠ **定义4.1 (舍入点)** NM执行Mads搜索过程中， x^r, x^e, x^{oc}, x^{ic} 可能不在网格上，此时用最近的网格点舍入

$$x_{\oplus}^r, x_{\oplus}^e, x_{\oplus}^{oc}, x_{\oplus}^{ic} \longleftarrow x^r, x^e, x^{oc}, x^{ic}$$

下标 \oplus 表示该点位于网格上。中心点 x^c 无需对网格进行舍入，因为NM不评估 x^c 的函数值。此外，NM执行Mads搜索的过程中并不会进行收缩操作，因为收缩可能会引入大量的舍入步骤，增大Mads搜索的成本。

♠ **定义4.2 (支配/被支配集)** 根据定义3.5“支配”关系，定义 \mathbb{Y}^0 和 \mathbb{Y}^n

$$\begin{aligned} \mathbb{Y}^0 &= \{y \in \mathbb{Y} : \nexists x \in \mathbb{Y}, x \prec y\} \\ \mathbb{Y}^n &= \{y \in \mathbb{Y} : \exists x \in \mathbb{Y}, y \prec x\} \end{aligned}$$

\mathbb{Y}^0 包含了不被任何其他顶点支配的所有顶点， \mathbb{Y}^n 包含了不支配其他任何顶点的所有顶点。 \mathbb{Y}^0 与 \mathbb{Y}^n 均非空，但可能有交集。

♠ **定义4.3 (区域)** NM执行Mads搜索时，由于引入了 $\mathbb{Y}^0, \mathbb{Y}^n$ 和违约函数 $h(x)$ ，“区域”的定义需要调整。设 $\mathbb{Y} = \{y^0, y^1, \dots, y^n\}$ 为 \mathbb{R}^n 上的有序单纯形， $\mathbb{Y}^0, \mathbb{Y}^n$ 为 \mathbb{Y} 的子集，测试点 $x \in \mathbb{R}^n$

- 若 $\exists y^i \in \mathbb{Y}^n$ 使得 $y^i \prec x$ ，或 $h(x) > h(y^n)$ ，则 x 属于内缩区域；
- 其余情况，若 $\exists y^i \in \mathbb{Y}^0$ 使得 $x \prec y^i$ ，则 x 属于扩张区域；
- 其余情况，若 x 至少掌控了 \mathbb{Y} 中的两个点，则 x 属于反射区域；
- 其余情况，即 x 掌控了 \mathbb{Y} 中的零或一个点，则 x 属于外缩区域。

4.4 算法细节

♣ Mads-NM-1. 迭代输入

在渐进障碍法(PB)，中，每一步迭代最多有两个当前最优解：一个是算法迄今为止发现的最佳可行解，称为主轮询中心；另一个是 h 值最小的不可行解，称为次轮询中心。在Mads-NM算法中，我们只考虑主轮询中心。即第 k 步迭代的输出（第 $k+1$ 步迭代的输入）为：当前最优解（主轮询中心） x^k ，框架尺寸参数 Δ^k ，违约函数障碍阈值 h_{max}^k ，以及截至第 k 步迭代为止算法评估过的点集 V^k 。

♣ Mads-NM-2. 生成单纯形

Mads-NM开始前，设置参数 $\pi_{radius} \geq 1, \pi_{svd} > 0$ ，对于第 $k+1$ 次迭代，定义采样集

$$\mathbb{T}_{\pi_{radius}} = \{x \in V^k : |x_i - x_i|^k \leq \pi_{radius} \Delta_i^k, i \in \{1, 2, \dots, n\}\}$$

根据定义3.6将 $\mathbb{T}_{\pi_{radius}}$ 中的点排序，使得 $x_{i-1} = \text{Best}(x_{i-1}, x_i)$, ($i = 1, 2, \dots, p_k$),

$$\mathbb{T}_{\pi_{radius}} = \{x_0, x_1, \dots, x_{p_k}\}$$

注意到 $x_0 = x^k$, 根据定义3.2“网格”可知 $\mathbb{T}_{\pi_{radius}} \subset M^k$.

step1. (添加顶点) 初始化 $\mathbb{Y} = \{x_0\}$, i 从1到 p_k 进行如下循环:

生成矩阵 $A = \{y - x_0: y \in \mathbb{Y}, y \neq x_0\} \cup \{x_i - x_0\}$,

- 若 $diag(\Delta^k)^{-1}A$ 的奇异值 $\geq \pi_{svd}$, 则 $\mathbb{Y} \leftarrow \mathbb{Y} \cup \{x_i\}$;
- 否则 $\mathbb{Y} \leftarrow \mathbb{Y}$.

step2. (输出单纯形) 判断生成单纯形 \mathbb{Y} 的顶点个数

- 若 $|\mathbb{Y}| = n + 1$, 则输出 \mathbb{Y} ;
- 否则输出 $\mathbb{Y} = \emptyset$.

根据生成的单纯形的输出结果 \mathbb{Y} , NM会在 M^k 上执行Mads搜索, 进而进入Mads轮询。

♣ Mads-NM-3. NM执行Mads搜索

在第 $k + 1$ 步Mads-NM迭代中, 对于生成的单纯形 $\mathbb{Y} \subset V^k$

step1. (更新单纯形)

- 若 \mathbb{Y} 不是一个单纯形, 进行Step4;
- 否则排序 $\mathbb{Y} = \{y^0, y^1, \dots, y^n\}$ 并计算 \mathbb{Y}^0 和 \mathbb{Y}^n .

step2. (寻找新顶点)

- 若 x_{\oplus}^r 属于内缩区域且 x_{\oplus}^{ic} 属于内缩区域, 则进行Step4;
- 若 x_{\oplus}^r 属于内缩区域且 x_{\oplus}^{ic} 不属于内缩区域, 取 $t = x_{\oplus}^{ic}$;
- 除上述情况, 若 x_{\oplus}^r 属于扩张区域, 取 $t = \text{Best}(x_{\oplus}^r, x_{\oplus}^e)$;
- 除上述情况, 若 x_{\oplus}^r 属于反射区域, 取 $t = x_{\oplus}^r$;
- 除上述情况, 即 x_{\oplus}^r 属于外缩区域, 取 $t = \text{Best}(x_{\oplus}^r, x_{\oplus}^{oc})$;

step3. (替换最差点)

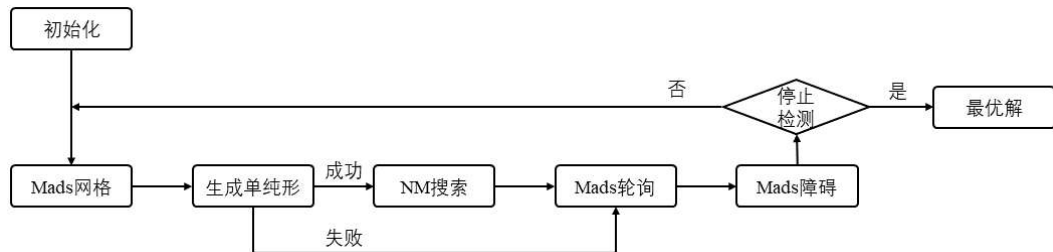
- 若 $t \in V^k$, 进行Step4;
- 否则用 t 替换 y^n , 进行步骤Step1.

step4. (停止NM迭代) 输出Step2访问过的测试点集

NM停止可能有以下原因:

- (1) 输入Mads的单纯形为空集, 跳过Mads搜索直接进入轮询;
- (2) 由于对NM的替换点进行了舍入操作, 替换顶点 y^n 后 \mathbb{Y} 不再是一个单纯形, 此时NM终止;
- (3) 替代顶点的建议值 t 可能是之前访问过的网格点($t \in V^k$), 为了防止出现循环, NM将终止;
- (4) 由于收缩会增大搜索步骤的成本, 当原本的NM需要收缩时, NM将终止;
- (5) 算法启动前设置参数 $\pi_{eval} \in \mathbb{N}$, 每次NM搜索可执行的函数求值次数不能超过 π_{eval} , 否则NM将终止。

不等式约束优化Mads-NM流程图



♣ Mads-NM-4. 收敛性分析

对Mads算法而言, 只要确保每一次搜索时 S^k 是网格 M^k 的有限子集, 收敛性就与搜索步骤无关[1]。而每一次NM搜索的采样集 $\mathbb{T}_{\pi_{radius}}$ 都是有限的, 且算法保证了NM搜索不会循环卡死, 故Mads-NM算法仍适用Mads的收敛性证明。

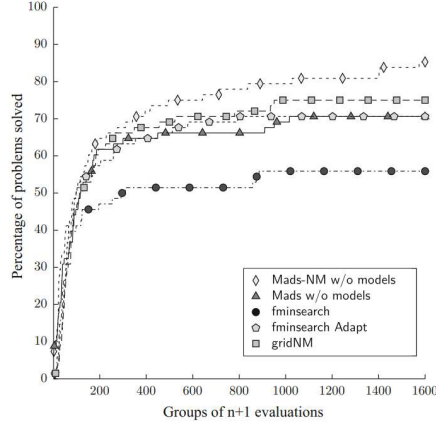
5.数值实验效果比较

经过一系列调参实验，文献[1]确定Mads-NM一组比较好的参数为： $\pi = (\pi_{svd}, \pi_{eval}, \pi_{radius}) = (0.01, 80n, 8)$

5.1 无约束优化问题的比较

对于无约束优化问题，文献[1]使用了Mads-NM、Mads，以及应用了NM的fminsearch、fminsearch Adapt、grid NM共5种算法，在68个不同的测试问题上进行了比较。

Fig. 4 Data profiles using Mads-NM, Mads, fminsearch, fminsearch Adapt, and gridNM with a convergence tolerance of $\tau = 10^{-5}$ on one replication of 68 test problems without constraints other than bounds



对无约束优化问题的数值实验表明，由此产生的Mads-NM算法优于Matlab实现的NM算法（fminsearch和fminsearch Adapt）、gridNM算法以及Mads算法。

5.2 有约束优化问题的比较

对于有约束优化问题，文献[1]使用了Mads-NM与Mads算法，在3个黑盒测试问题（LOCKWOOD、MDO、STYRENE）上进行了比较。

(1) LOCKWOOD

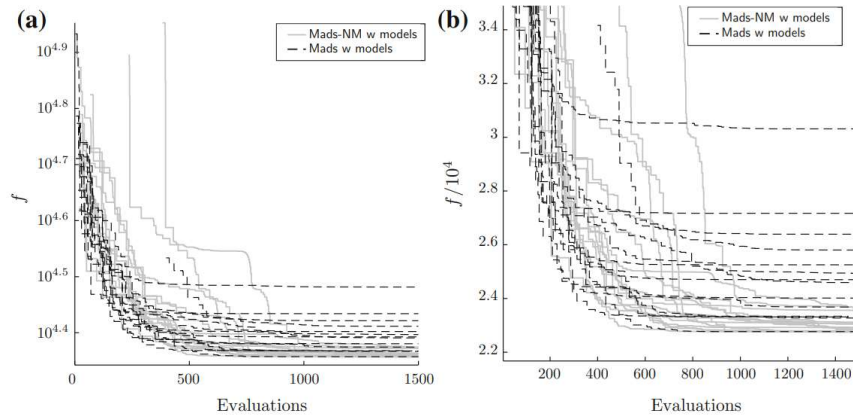


Fig. 5 Optimization history on 20 LOCKWOOD problems (right plot is a zoom on low objective values)

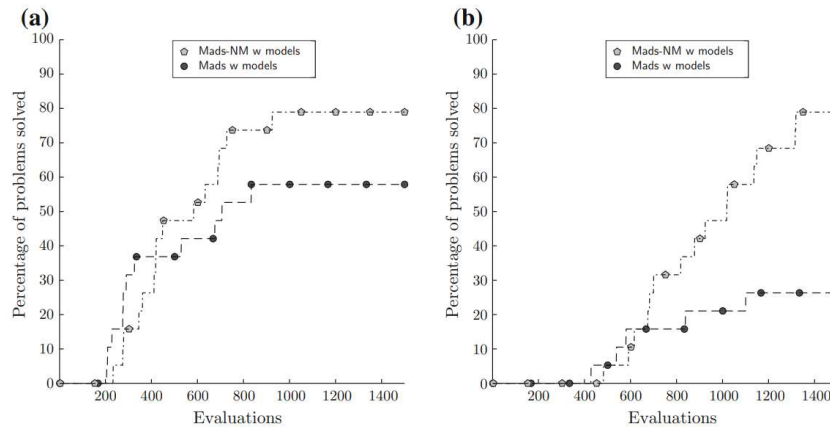


Fig. 6 Data profiles obtained with convergence tolerance τ on 20 LOCKWOOD problems. **a** $\tau = 10^{-1}$ and **b** $\tau = 10^{-2}$

(2) MDO

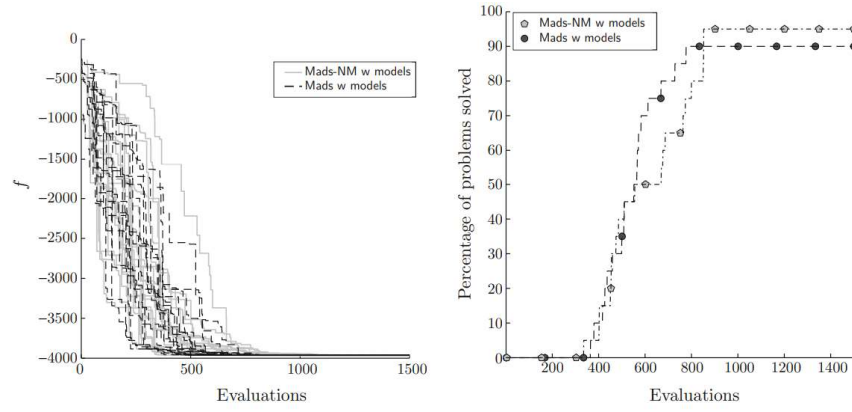


Fig. 7 Mads and Mads-NM with quadratic models on 20 MDO problems. **a** Optimization history and **b** Data profiles with $\tau = 10^{-2}$

(3) STYRENE

Fig. 8 Optimization history on 20 STYRENE problems

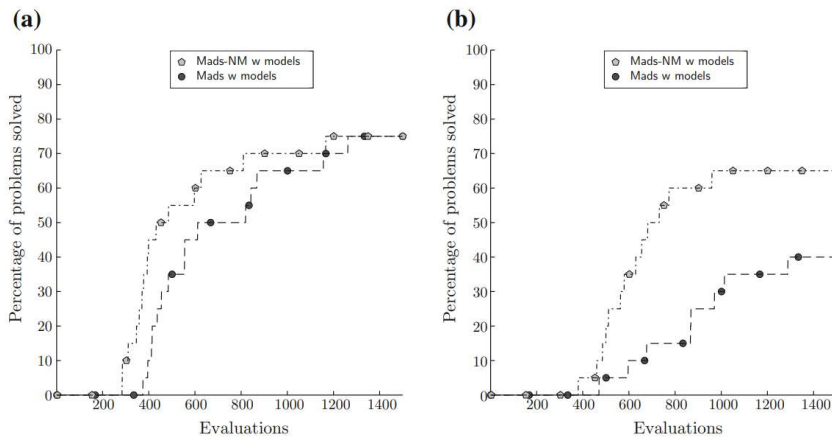
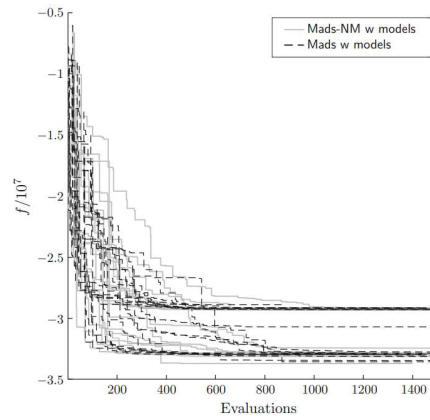


Fig. 9 Data profiles obtained with two convergence tolerances on 20 STYRENE problems. **a** $\tau = 10^{-2}$ and **b** $\tau = 10^{-3}$

在三个有约束工程问题上的实验表明，Mads-NM算法和Mads算法在最初的数百次函数求值过程中表现相当，但随着函数求值次数的增加，Mads-NM算法通常比Mads算法更能找到更好的可行解。解决问题百分比的差异方面：对于MDO问题($\tau = 10^{-2}$)差距约为5%；对于STYRENE问题($\tau = 10^{-3}$)差距约为25%；对于LOCKWOOD问题($\tau = 10^{-2}$)差距超过50%。

6. 参考文献

- [1] Audet, C., Tribes, C. Mesh-based Nelder–Mead algorithm for inequality constrained optimization. *Comput Optim Appl* 71, 331–352 (2018).
- [2] McKinnon, K.I.M.: Convergence of the Nelder–Mead simplex method to a nonstationary point. *SIAMJ. Optim.* 9(1), 148–158 (1998)
- [3] Audet, C., Hare, W. (2017). Mesh Adaptive Direct Search. In: *Derivative-Free and Blackbox Optimization*. Springer Series in Operations Research and Financial Engineering. Springer, Cham.

7. 后记

在本学期最后两周里，我围绕论文Mesh-based Nelder–Mead algorithm for inequality constrained optimization展开学习，制作PPT汇报并书写了总结报告。这是一次非常难得的经历，让我对21世纪的黑盒优化算法研究有了一定的了解。

学习过程中我曾遇到过困难：论文对Mads算法的搜索-轮询迭代以及渐进障碍(PB)的介绍均十分简略，对理解Mads-NM算法造成了很大的阻碍。但令人欣喜的是，查阅资料时我发现论文作者之一Charles Audet曾参与教材Derivative-Free and Blackbox Optimization的编写。汇报结束后，我花费了一周时间阅读此教材的第五章(Mesh Adaptive Direct Search)和第十二章(Variables and Constraints)，充分理解了PB障碍的Mads算法，并在本报告的第三节绘制了流程图进行总结。这本教材是我在学习中的意外收获，对于黑盒优化算法论述详实，值得我继续研读。

其他同学的文献汇报也让我受益良多，文献11-13让我看到了Mads算法的不同变体，其余文献针对不同问题也引入了新的思想。

最后，衷心感谢范金燕老师和助教曹慧琳老师。在前14周的课程中我学到了许多下降方法，在15-16周的研讨中我了解到了21世纪的优化算法研究，在未来的道路上我相信也会经常需要把学到的优化知识学以致用。再次对你们的付出表示衷心的感谢。